

УДК 532.529.56

КВАЗИСТАЦИОНАРНОЕ  
СФЕРИЧЕСКИ-СИММЕТРИЧНОЕ ТЕЧЕНИЕ  
ИНТЕНСИВНО ИЗЛУЧАЮЩЕЙ ПЛАЗМЫ,  
НАГРЕВАЕМОЙ ЛАЗЕРНЫМ ИЗЛУЧЕНИЕМ

*А. В. Добкин, Т. Б. Малюина, И. В. Немчинов*

(Москва)

Оценки и численные расчеты [1—4] показывают, что при достаточно длительном воздействии лазерного излучения на преграду в вакууме в условиях плоской геометрии разлета паров значительная часть энергии лазерного импульса преобразуется в тепловое излучение, испускаемое плазмой. Если за время действия лазера толщина слоя паров становится сравнимой с характерным размером облучаемого пятна  $r_b$ , то из-за начинаящегося расширения струи в боковом направлении плотность паров снижается быстрее, чем в случае разлета в виде плоского слоя. Периферийные слои плазменного факела становятся прозрачными, практически полностью пропускают лазерное излучение, и поглощение осуществляется лишь вблизи мишени, устанавливается квазистационарный самосогласованный режим нагрева и разлета паров [5, 6]. Параметры плазмы, достигаемые к концу плоской стадии разлета, в дальнейшем как бы «замораживаются». Поэтому и в стационарной стадии могут осуществляться режимы, в которых тепловое излучение становится доминирующим фактором. Поскольку в плоской стадии роль теплового излучения возрастает с увеличением длительности импульса и соответственно толщины слоя паров  $x$  [1—4], то в стационарной стадии выход излучения возрастет с увеличением размера пятна  $r_b$  [6].

Квазистационарный режим движения интенсивно излучающей плазмы, в которой выделяется энергия внешнего источника, представляет значительный интерес, поскольку в нем расход массы, давление, плотность и температура, оптическая толщина плазмы, а также плотность потока испускаемого излучения поддерживаются на неизменном уровне. Это облегчает исследование оптических свойств излучающей плазмы и практическое использование испускаемого излучения. В квазистационарном режиме масса плазмы, импульс давления и импульс испускаемого излучения пропорциональны подведенной энергии, т. е. в принципе могут наращиваться до сколь угодно больших значений.

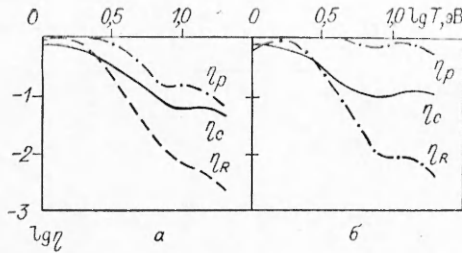
В общем случае описание радиационно-газодинамических процессов, происходящих при двумерном нестационарном или квазистационарном движении излучающей струи паров, является достаточно сложной задачей. Здесь ограничимся лишь более простым случаем радиально-симметричного установившегося движения излучающих паров. Сделаем также некоторые дополнительные предположения о характере излучения.

1. Будем описывать перенос излучения в приближении квазиобъемного высвечивания [7, 8]. Произведем расчет интенсивности  $I_\varepsilon$  излучения, распространяющегося в равномерно нагретом объеме вещества при различных значениях его температуры  $T$ , плотности  $\rho$  и характерного размера  $L$ . Найдем интегральную по спектру интенсивность излучения  $F_r$  на границах объема

$$(1.1) \quad I_\varepsilon = B_\varepsilon(1 - \exp(-\kappa_\varepsilon m)), \quad B_\varepsilon = \frac{15}{\pi^4} \frac{\sigma \varepsilon^3}{\exp(\varepsilon/T) - 1},$$

$$F_r = \int_0^\infty I_\varepsilon d\varepsilon, \quad \int_0^\infty B_\varepsilon d\varepsilon = \sigma T^4, \quad m = \rho L.$$

Здесь  $B_\varepsilon$  — планковская функция;  $\varepsilon$  — энергия фотонов;  $\sigma$  — постоянная Стефана — Больцмана;  $\kappa_\varepsilon$  — спектральный массовый коэффициент поглощения;  $m$  — характерная величина удельной массы газа.



Р и с. 1

Вычислим коэффициент черноты  $\eta$  и эффективный коэффициент испускания  $\kappa_e$  по соотношению

$$(1.2) \quad F_r = \eta \sigma T^4 = \\ = \sigma T^4 (1 - \exp(-\kappa_e m)).$$

При условии  $\kappa_e m \ll 1$ , выполняющемся для всех частот излучения или энергий фотонов  $\epsilon$ , из (1.1) получаем

$$(1.3) \quad I_\epsilon = B_\epsilon \kappa_e m, \quad F_r = \sigma T^4 \kappa_p m, \quad \kappa_e = \kappa_p.$$

Таким образом, введенный эффективный коэффициент испускания  $\kappa_e$  переходит в планковский коэффициент  $\kappa_p$ . Однако реально в достаточно плотной многократно ионизованной плазме условие  $\kappa_e m \ll 1$  в некоторых участках спектра, и прежде всего в линиях, не выполняется, и необходимо учитывать реабсорбцию, что и делается при вычислении  $\kappa_e$  по (1.1) и (1.2). Если все же в целом по спектру  $\eta \ll 1$  и  $\kappa_e m \ll 1$ , то из (1.2)

$$(1.4) \quad F_r = \sigma T^4 \kappa_e m, \quad \operatorname{div} q_r = Q_r \rho, \quad Q_r(T, \rho, m) = 4 \kappa_e \sigma T^4,$$

где  $Q_r$  — удельная мощность потерь энергии (на единицу массы).

Расчеты [8] показывают, что зависимость  $\kappa_e$  от  $L$  или  $m$  довольно слабая, соответственно достаточно определенной оказывается и  $\kappa_e$ , если заранее известно значение  $L$ . В качестве такового в задаче о нагреве плазмы лазерным излучением выступает  $l(\epsilon_0, T, \rho)$  пробега лазерного излучения с энергией фотонов  $\epsilon_0$ .

На рис. 1 представлена зависимость  $\eta$  от  $T$  плазмы висмута, нагреваемой излучением неодимового лазера ( $\epsilon_0 = 1,16$  эВ), при двух типичных значениях плотности плазмы висмута  $\rho = \delta \rho_L$  ( $\delta = 1; 0,1$  —  $a$  и  $b$ ), где нормальная плотность паров висмута  $\rho_L = 9,39$  мг/см<sup>3</sup>. Значения  $\eta_c$  вычислены по (1.1) и (1.2), т. е. путем решения спектрального уравнения переноса с использованием детальных таблиц оптических свойств плазмы висмута [9],  $\eta_p$  — по (1.2) в предположении, что  $\kappa_e = \kappa_p$ , а значения  $\eta_R$  найдены при использовании в качестве эффективного среднего Росселандова коэффициента поглощения  $\kappa_R$ . Как видно, различие достаточно велико. Отметим, что типичные значения  $\eta$  при рассматриваемых  $T$  и  $\delta$  порядка 0,1. Далее выражение (1.4) распространяется и на случай неравномерного нагрева. Основанием является то, что в точных численных решениях РГД задачи [2—4] температура основной части массы излучающей и поглощающей плазмы меняется сравнительно мало. Во всяком случае, применение  $\kappa_e$  в выражении (1.4) гораздо более обосновано, чем использование планковского или Росселандова средних коэффициентов.

2. Система уравнений, описывающая радиально-симметричное стационарное движение и нагрев излучающей плазмы, имеет вид

$$(2.1) \quad dp + \rho u du = 0, \quad \rho u S = \dot{M}, \quad h = p\gamma/\rho(\gamma - 1), \\ \dot{M} \left[ (dh + u du) + \frac{Q_r}{u} dr \right] + dF = 0.$$

Здесь  $p$  — давление;  $\rho$  — плотность;  $u$  — скорость;  $h$  — энтальпия плазмы;  $\gamma$  — показатель адиабаты;  $S$  — площадь сечения «канала», в котором движется пар ( $S = 4\pi r^2$  для сферически-симметричного течения);  $\dot{M}$  — расход массы;  $F$  — полный поток энергии лазерного излучения через сечение  $S$  ( $F = qS$ ,  $q$  — плотность потока).

Уравнения переноса лазерного излучения

$$(2.2) \quad dF^-/dr = kF^-, \quad dF^+/dr = -kF^+,$$

где  $F^-$  — поток энергии лазерного излучения, направленный к поверхности мишени;  $F^+$  — поток отраженного излучения  $F = F^+ - F^-$  ( $F^+ > 0, F^- > 0, F < 0$ );  $k = k(T, \rho)$  — линейный коэффициент поглощения лазерного излучения. На поверхности мишени, т. е. при  $r = r_0$ ,  $F_w^+ = k_r F_w^-$  ( $k_r$  — коэффициент отражения), а также выполняются условия фазового перехода в дозвуковой волне испарения

$$(2.3) \quad \begin{aligned} \rho_w u_w S_w &= \dot{M}_w, p_0 = p_w + \rho_w u_w^2, \\ \dot{M} \left( h_w + \frac{1}{2} u_w^2 \right) + F_w &= -\dot{M} Q_v, T_w = T_v(p_w). \end{aligned}$$

Здесь  $p_0$  — давление перед волной испарения (в твердом теле);  $T_v$  — равновесная температура фазового перехода;  $Q_v$  — теплота испарения; индекс  $w$  относится к параметрам за волной испарения;  $F_w$  — суммарный поток лазерного и теплового излучения, достигающий волны испарения. Ниже при конкретных расчетах задачи испарение мишени за счет потоков теплового излучения не учитывалось.

На внешней границе  $r \rightarrow r_\infty$

$$(2.4) \quad F \rightarrow F_\infty = q_0 S_0, p \rightarrow 0.$$

Уравнение состояния и оптические свойства паров задаются в табличном виде

$$(2.5) \quad p v = N(T, \rho) R' T, h = c(T, \rho) R' T = \frac{\gamma}{\gamma-1} p v,$$

$$R' = R/A, k = k(\varepsilon_0, T, \rho), \kappa_e = \kappa_e(\varepsilon_0, T, \rho), v = 1/\rho$$

( $R$  — универсальная газовая постоянная,  $A$  — атомный вес вещества).

Уравнение состояния в дифференциальной форме

$$(2.6) \quad \begin{aligned} \frac{dh}{h} - A_v \frac{dv}{v} - A_p \frac{dp}{p} &= 0, A_p = \left( 1 + \frac{\partial \ln C}{\partial \ln T} \right) \left( 1 + \frac{\partial \ln N}{\partial \ln T} \right)^{-1}, \\ A_v &= A_p \left( 1 - \frac{\partial \ln N}{\partial \ln v} \right) + \frac{\partial \ln C}{\partial \ln v}, c_s^2 = \gamma_d \frac{p}{\rho}, \gamma_d = \frac{\gamma A_v}{1 + (A_p - 1) \gamma}, \frac{C}{N} - 1 = \frac{1}{\gamma - 1}, \end{aligned}$$

где  $c_s$  — скорость звука;  $\gamma_d$  — дифференциальный показатель адиабаты. Система (2.1) имеет особую точку, соответствующую переходу через скорость звука. При постоянных  $C$  и  $N$   $\gamma_d = \gamma$ ,  $A_v = A_p = 1$ . Из (2.1) и (2.6)

$$(2.7) \quad (1 - u^2/c_s^2) du/u = - (dF/\dot{M}h + Q_r dr/u h + dS/S).$$

В «звуковом» сечении (скорость течения  $u$  равна скорости звука  $c_s$ ) член при  $du/u$  обращается в нуль. Параметры в этом сечении (назовем его критическим) будем отмечать индексом \*. Если происходит непрерывное ускорение газа, то  $du$  не меняет знака. При переходе через скорость звука должно выполняться соотношение  $dF/\dot{M}h_* + Q_r^* dr/u_* h_* + dS/S_* = 0$ .

Используя уравнение переноса (2.2), условие  $u_* = c_s^*$  и определение  $Q_r^*$ , в случае сферически-симметричного течения получаем

$$(2.8) \quad k_* r_* q_* (1 - \chi) + 2\rho_* h_* u_* = 0, \chi = -Q_r^* \rho_* / k_* q_*$$

( $\chi$  — относительная мощность потерь энергии на излучение в критической точке).

Таким образом, в критическом сечении должно выполняться определенное соотношение между мощностью энерговыделения за счет лазерного излучения (плотность потока лазерного излучения  $q_* = F_*/S_*$ , причем  $q_* < 0$ ), потерями энергии на тепловое излучение и гидродинамическим потоком энергии.

3. Для выхода из особой точки необходимо выполнить разложения по малому параметру. Заданную систему и условия в особой точке удобно

представить в безразмерном виде, отнеся все параметры к их значениям в звуковом сечении:  $\bar{r} = r/r_*$ ,  $\bar{g} = u^2/u_*^2$ ,  $\bar{p} = p/p_*$ ,  $\bar{\rho} = \rho/\rho_*$ ,  $\bar{F} = F/F_*$ ,  $\bar{F}^+ = F^+/F_*$  и т. д. Для удобства ниже черту над безразмерными переменными опустим. Систему (2.1), (2.2) запишем как

$$(3.1) \quad dp = -\frac{1}{2}\gamma_d \rho dg, \quad \rho V^- g S = 1,$$

$$dh + (\nu - 1)dg + \Phi_f dF + \Phi_q \frac{dr}{V^- g} Q_r = 0, \quad \frac{dF^-}{dr} = k_f k F^-, \quad \frac{dx^+}{dr} = -k_f k F^+.$$

Здесь  $\Phi_q = r_* Q_r^+ / h_* u_*$ ;  $\Phi_f = F_* / M h_*$ ;  $\nu = 1 + \gamma_d^*/2\varphi_*$ ;  $\varphi_* = \gamma_*/(\gamma_* - 1)$ ;  $k_f = k_* r_*$ ;  $\chi = \Phi_q / k_f \Phi_f$ . Используя (2.5) и уравнение энергии, из (3.1) найдем дифференциальное уравнение для определения  $g(r)$

$$(3.2) \quad \frac{1}{2} \frac{d\bar{g}}{dr} \frac{\bar{h}}{\bar{g}} \left( 1 - \frac{\bar{g}}{\bar{h}} \Phi \right) = - \left[ \frac{\bar{h}}{\bar{S}} 2r - \frac{\Phi_f}{A_v} k_f k (F^+ + F^-) + \frac{\Phi_q}{A_v} \frac{Q_r}{V^- g} \right],$$

$$\Phi = \varphi \gamma_d^*/\varphi_* \gamma_d, \quad \varphi = \gamma/(\gamma - 1),$$

аналогичное (2.7), однако в отличие от (3.2) в нем использовано реальное уравнение состояния газа (2.5), (2.6) и учитывается отражение лазерного излучения от поверхности мишени.

В особой точке

$$(3.3) \quad r = g = p = \rho = F = S = h = k = Q_r = \Phi = 1,$$

$$F^+ = F^+/F_*, \quad F^- = F^-/F_*, \quad (F^+ + F^-) = \chi (1 + 2A_v/\Phi_q).$$

Для выхода из особой точки системы получим разложения по  $r$  в точке  $r = 1$  с точностью до первого порядка, причем вблизи особой точки зависимости  $k(T, \rho)$ ,  $\alpha_e(T, \rho)$ ,  $T(h, \rho)$  представим в степенном виде  $k = h^{-\alpha} \rho^\beta$ ,  $\alpha_e = h^{-\alpha_e} \rho^{\beta_e}$ ,  $T = h^{\alpha_T} \rho^{\beta_T}$ , а изменениями  $A_v$  и  $\Phi$  пренебрежем.

При  $(r - 1) \ll 1$   $g - 1 = z_g(r - 1)$ . Для определения наклона  $z_g$  интегральной кривой имеем квадратное уравнение

$$(3.4) \quad az_g^2 + bz_g + c = 0, \quad a = \frac{1}{2} \nu, \quad b = -2 \left[ \frac{i}{2} A_v^* - (\nu - 1)(1 + \alpha) + \frac{1}{2} \beta \right] +$$

$$+ \frac{\Phi_q}{A_v^*} \left[ (\nu - 1)(\alpha + 4\alpha_T - \alpha_e) + \frac{1}{2}(4\beta_T + \beta_e - \beta) + \frac{1}{2} \right].$$

$$c = -4 \left[ A_v^*(1 + \alpha) + \beta - 1 \right] - 2 - \frac{\Phi_f}{A_v} k_f^2 -$$

$$- \frac{\Phi_q}{A_v} 2 \left[ A_v^*(\alpha + 4\alpha_T - \alpha_e) + \beta - 4\beta_T - \beta_e \right].$$

Методика решения системы (3.1), (3.2) с граничными условиями (2.3), (2.4) и особой звуковой точкой, в которой выполняются соотношения (3.3), в случае, когда переизлучение не учитывается ( $Q_r = 0$ ), изложена в [5, 6]. Близкая методика использовалась нами также при исследовании стационарного режима разлета паров, нагреваемых потоком быстрых частиц или потоками теплового излучения в режиме лучистой теплопроводности [10, 11]. Поэтому здесь остановимся лишь на характерных особенностях, связанных с учетом переизлучения.

Интегрирование системы (3.1), (3.2) начинается от особой точки, где задаются значения  $T_*$  и  $\rho_*$ . С использованием таблиц термодинамических и оптических свойств вещества находятся значения  $h_*$ ,  $p_*$ ,  $c_{s*}$ ,  $k_*$ ,  $\alpha_e^*$  и  $Q_r^*$ .

Интегрируя уравнение энергии (2.1) от поверхности мишени ( $r = r_0$ ) до критической точки ( $r = r_*$ ) и используя граничные условия (2.3),

находим

$$(3.5) \quad h_* + \frac{u_*^2}{2} + \frac{F_*}{M} + \frac{r_* Q_r^*}{u_*} Q = -Q_v,$$

где безразмерный интеграл

$$(3.6) \quad \theta = \int_{r_0/r_*}^1 \frac{Q_r/Q_r^*}{u/u_*} d\left(\frac{r}{r_*}\right).$$

Точное значение  $\theta$  будет известно только после интегрирования системы. В качестве первого приближения можно взять его значение из решения без учета переизлучения, т. е. при  $Q_r^* = 0$ , если расчеты начинаются с вариантов, в которых переизлучение мало ( $\chi \ll 1$ ,  $\chi = -Q_r^* \rho_* / k_* q_*$ ). Роль переизлучения ослабляется с уменьшением  $T_*$  и  $r_*$ . В дальнейшем по мере увеличения  $\chi$  можно использовать в качестве начальных  $\theta$  экстраполяцию значений  $\theta$ , полученных в предшествующих расчетах.

Если задаться значением  $\theta$ , то соотношение (3.5) и условия (3.3) позволяют определить все параметры в критическом сечении:  $r_*$ ,  $F_*$  и  $M = \rho_* u_* S_*$ . Выход из особой точки осуществляется аналогично [5, 6, 10, 11] разложением решения вблизи критического сечения (3.4). Затем система уравнений интегрируется от особой точки в сторону преграды до пересечения с кривой фазового равновесия, определяются  $r_0$  и новое значение  $\theta$ . Подставляя  $\theta$  в соотношение (3.5), уточняем параметры в критическом сечении и повторяем расчет. Значения параметров в критической точке обычно сходятся после нескольких итераций.

Далее проводится расчет сверхзвуковой зоны течения (в сторону увеличения  $r$ ) до тех пор, пока  $F$  не выйдет на стационарное значение  $F = F_\infty$ .

При  $\chi \rightarrow 1$  расчет по указанной методике становится затруднительным, решение чувствительно к выбору  $\theta$ . Предельный «радиационный» режим течения (при  $\chi \approx 1$ ) предполагается проанализировать отдельно.

4. Оценим параметры плазмы и потоки ее теплового излучения при воздействии лазера на сферическую мишень из висмута. Уравнение состояния и оптические свойства висмутовой плазмы в диапазоне  $T = 5 - 30$  эВ аппроксимируем степенными зависимостями (использовались таблицы [9])

$$(4.1) \quad e = 2,04T^{1,8}\delta^{-0,125}, \quad \kappa_0 = 2,4 \cdot 10^3 T^{1,5}\delta^{0,75}\varepsilon_0^{-2}, \\ \eta = 0,25T^{-0,5}\delta^{-0,25}\varepsilon_0^{0,7}, \quad \kappa_e = 6 \cdot 10^2 T^{1,0}\delta^{0,5}\varepsilon_0^{-1,3},$$

где  $e$  — удельная внутренняя энергия плазмы, кДж/г;  $\kappa_0$  — коэффициент поглощения лазерного излучения, см<sup>2</sup>/г;  $\kappa_e$  — эффективный коэффициент поглощения, см<sup>2</sup>/г;  $\delta = \rho/\rho_L$  — относительная плотность.

В качестве первого приближения оценим параметры плазмы, пренебрегая потерями энергии на излучение ( $Q_r = 0$ ). Для достаточно высоких температур плазмы, когда  $h_* \gg Q_v$ , уравнение баланса энергии в звуковом сечении записывается в виде

$$(4.2) \quad q_* = \frac{\gamma+1}{2} \rho_* u_* h_*$$

(здесь и далее  $q_* > 0$ ). В критическом сечении характерная оптическая толщина плазмы равна

$$(4.3) \quad k_* r_* = 1/\lambda, \quad k_* = \kappa_0^* \rho_*, \quad \lambda = (\gamma+1)/4.$$

Используя (4.2), (4.3) и аппроксимации (4.1), получаем соотношения между параметрами в критическом сечении:

$$(4.4) \quad T_* = 1,35r_*^{0,23} q_*^{0,50} \varepsilon_0^{-0,46}, \quad \delta_* = 0,2r_*^{-0,77} q_*^{-0,42} \varepsilon_0^{1,54}.$$

Здесь и далее размерности величин следующие:  $q_*$ , МВт/см<sup>2</sup>;  $r_*$ , см;  $T_*$ , эВ;  $p_*$ , МПа;  $\epsilon_0$ , эВ;  $\delta_* = \rho_*/\rho_L$  ( $\rho_L = 9,39 \cdot 10^{-3}$  г/см<sup>3</sup>).

Используя (4.4), оценим относительную мощность потерь энергии на излучение в критической точке:

$$(4.5) \quad \chi = 4\kappa_e^* \sigma T_*^4 / \kappa_0^* q_* = 0,45 q_*^{0,83} r_*^{1,0} \epsilon_0^{-1,3}.$$

Оценка (4.5) справедлива в случае малых потерь энергии на излучение ( $\chi \ll 1$ ), однако, используя ее, можно грубо оценить характерные значения параметров, при которых потери энергии на излучение становятся значительными ( $\chi \approx 1$ ):  $r_*^R = 2,2 q_*^{-0,83} \epsilon_0^{1,3}$ ,  $T_*^R = 1,62 q_*^{0,3} \epsilon_0^{-0,16}$ . При конечных потерях энергии на излучение уравнение баланса энергии запишется в виде

$$(4.6) \quad q_* (1 - \chi \theta k_* r_*) = \frac{\gamma + 1}{2} \rho_* h_* u_*.$$

Сравнивая (4.6) с (4.2), а (2.8) с (4.3), приходим к выводу, что для получения заданных значений  $T_*$  и  $\rho_*$  в критической точке при учете потерь энергии на излучение необходимо увеличить плотность потока лазерного излучения и изменить радиус  $r_*$  или оптическую толщину  $\tau_* = k_* r_*$ :  $q_* = A_q q_*$ ,  $A_q = 1 + 4\chi\theta/(1 - \chi)(\gamma + 1)$ ,  $\tau_* = A_\tau \tau_*^0$ ,  $A_\tau = [1 - \chi(1 - 4\theta/(\gamma + 1))]^{-1}$ .

В случае, когда оптические и термодинамические свойства паров задаются в степенном виде, при высоких температурах ( $h_* \gg Q_v$ ) задача становится автомодельной, причем автомодельный профиль характеризуется одним параметром, например долей  $\chi$  потерь энергии на переизлучение в критической точке. При этом  $\theta = \theta(\chi)$ .

5. Приведем некоторые результаты численных расчетов квазистационарного течения при воздействии неодимового лазера на сферическую мишень из висмута в вакууме. При доле потерь энергии на излучение в критической точке  $\chi = 0,68$  распределения параметров по радиусу даны на рис. 2. Все величины отнесены к их значениям в критической точке (для  $T_* = 10$  эВ и  $\rho_* = 2,8 \cdot 10^{-3}$  г/см<sup>3</sup> имеем  $r_* = 3,6 \cdot 10^{-2}$  см,  $F_* = 10,7$  МВт,  $u_* = 6,12$  км/с,  $p_* = 88$  МПа,  $Q_r^* = 1,35 \cdot 10^7$  МВт/г,  $q_* = F_*/4\pi r_*^2 = 0,64$  ГВт/см<sup>2</sup>, плотность потока лазерного излучения на мишени в отсутствие экранировки  $q_0 = F_\infty/4\pi r_0^2 = 1,46$  ГВт/см<sup>2</sup>). ■ ■

Отметим характерные особенности течения. Вблизи поверхности мишени есть фронт волны нагрева, максимальная температура паров близка к значению в критическом сечении  $T_*$ . В звуковом сечении потери энергии на излучение  $Q_r$  максимальны. Поглощение энергии лазерного излучения осуществляется на расстояниях  $r \leq 2r_*$ .

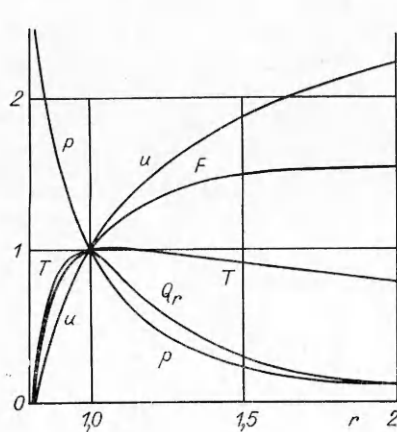


Рис. 2

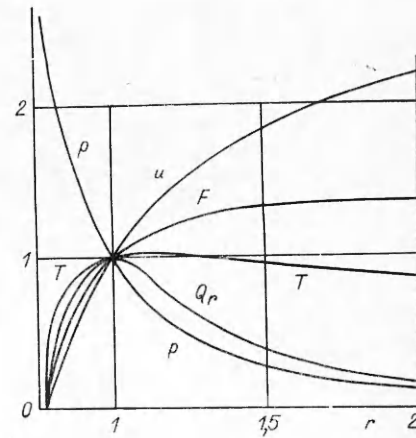


Рис. 3

Картина течения качественно похожа на случай, когда переизлучение не учитывается (ср. рис. 2 с 3, где представлены распределения параметров при  $\chi = 0$ ). Однако имеются и некоторые отличия. Так, при учете потерь энергии на излучение температура в сверхзвуковой части струи, т. е. при  $r > r_*$ , несколько быстрее падает с  $r$ , а  $F$  быстрее возрастает. С увеличением  $\chi$  возрастает часть энергии лазерного излучения, поглощаемая в сверхзвуковой зоне течения, т. е. увеличивается отношение  $F_\infty/F_*$  (рис. 4). Звуковая точка немножко приближается к поверхности с увеличением  $\chi$  (отношение  $r_0/r_*$  растет), а отношение  $p_0/p_*$  (отношение давления на мишени  $p_0$  к давлению  $p_*$  в критической точке) несколько уменьшается; значение  $\theta$  (3.6) незначительно снижается с ростом  $\chi$ .

В приближении квазиобъемного высвечивания и в условиях всестороннего облучения преграды поток теплового излучения, падающий

$$\text{на мишень, вычисляется по соотношению } F_r^0 = 2\pi \int_{r_0}^{\infty} (1 - \sqrt{1 - (r_0/r)^2}) \times \\ \times Q_r \rho r^2 dr. \text{ Поток теплового излучения, высвечиваемый в вакуум, } F_r^\infty = \\ = 4\pi \int_{r_0}^{\infty} Q_r \rho r^2 dr - F_r^0.$$

Относительные доли высвета в вакуум  $F_r^\infty/F_\infty$  ( $F_\infty$  — подводимый поток лазерного излучения) и на мишень  $F_r^0/F_\infty$  приведены на рис. 5. При  $\chi = 0,68$   $F_r^\infty/F_\infty = 0,4$ , на мишень приходится  $F_r^0/F_\infty = 0,2$ , т. е. в этом случае суммарные потери энергии на излучение составляют  $\zeta \approx \approx 60\%$ . Учет собственного излучения плазмы привел к снижению максимальной температуры плазмы  $T_*$  в 1,62 раза, а давление на мишени понизилось в 1,33 раза по сравнению со случаем, когда переизлучение не учитывалось ( $\chi = 0$ ). Однако следует иметь в виду, что в данной установке не учитывались испарение преграды тепловым излучением и нагрев им образовавшихся паров. Отметим, что в условиях всестороннего облучения преграды дополнительное испарение преграды за счет падающего на нее теплового излучения приведет к частичной компенсации уменьшения давления за счет потерь энергии на излучение. Количественное представление о роли последнего фактора можно получить на основании результатов численных расчетов [2—4] плоской задачи или предположения о поглощении испущенного излучения в волне ионизации и испарения (соответственно в (2.3) температура фазового перехода «ионизации»  $T_v$  заменяется на более высокую  $T_i$ , при которой происходит просветление плазмы для этого излучения).

Используя автомодельность задачи при выполнении степенных законов (4.1), можно оценить характерные параметры плазмы, изменяя значения в критическом сечении, но при сохранении той же доли высвета  $\chi$ . Например, при уменьшении температуры до  $T_* = 5$  эВ для  $\chi = 0,68$   $q_0 = 145$  МВт/см<sup>2</sup>,  $r_0 = 0,21$  см,  $p_0 = 40$  МПа,  $u_* = 3,3$  км/с. Время установления стационарного режима  $t_* \approx r_*/u_* \approx \approx 0,75$  мкс. Согласно экспериментам [12]

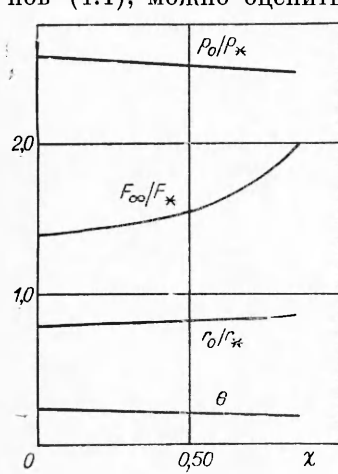


Рис. 4

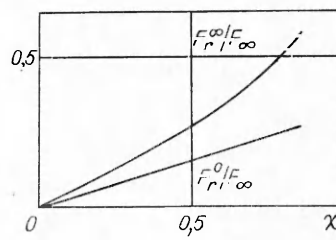


Рис. 5

при плотности потока порядка  $100 \text{ МВт/см}^2$ , время «вспышки», т. е. время развития экранирующего плазменного слоя, меньше указанных времен установления стационарного режима.

Таким образом, при достаточно длительном облучении сферической мишени лазерным излучением устанавливается квазистационарный режим разлета и нагрева паров, интенсивно испускающих при этом тепловое излучение, роль которого усиливается с увеличением размеров мишени и плотности потока лазерного излучения.

При количественной оценке роли радиационных эффектов с помощью описанной стационарной модели сделан ряд допущений. Так, фазовый переход считался квазиравновесным. Вопрос о реальной структуре волны испарения остается пока открытым. Однако сравнение расчетов в этом предположении с экспериментами [12] показывает, что оно позволяет не-плохо описать параметры на волне испарения даже в режиме без экранировки поверхности плазмой. Эти параметры перестают вообще играть существенную роль в условиях «плазменных» режимов, которые здесь и рассматриваются, поскольку температура основной зоны энерговыделения намного превосходит температуру в зоне фазового перехода ( $T_m \gg \gg T_v$ ). Отметим, что измерения [13] дали весьма неплохое согласие с расчетом по стационарной модели в диапазоне характерных плотностей потока и радиусов пятна облучения, принятых в качестве примеров выше. При этом мишень была алюминиевой и в соответствии с оценками [6] переизлучение оказалось несущественным фактором. Приведенные оценки показывают, что переход к мишениям из тяжелых элементов значительно усиливает роль радиационных эффектов и позволяет изучать их экспериментально даже в условиях, близких к [13].

В принятой выше модели пренебрегалось воздействием теплового излучения, испущенного горячей плазмой на поверхность. Вместе с тем дополнительное испарение преграды за счет падающего на нее теплового излучения может частично компенсировать уменьшение давления в плазме при ее охлаждении за счет лучеиспускания. С другой стороны, увеличение расхода массы снижает температуру плазмы и ослабляет излучение. Для проверки проведены расчеты одномерной сферически-симметричной нестационарной радиационно-газодинамической задачи о воздействии на сферическую мишень из висмута излучения неодимового лазера. Учитывалось испарение преграды тепловым излучением и отражение лазерного излучения от поверхности (с коэффициентом отражения, экспериментально определенным в [12]). Поток теплового излучения определялся путем решения уравнения переноса излучения. Методика расчета описана в [14]. Для более аккуратного сопоставления с расчетами по данной модели уравнение состояния плазмы и ее оптические свойства задавались степенными зависимостями (4.1).

Приведем результаты расчета для  $q_0 = 1,46 \text{ ГВт/см}^2$  и  $r_0 = 0,03 \text{ см}$ . Расчет показал, что происходит выход на стационарный режим к моменту времени  $0,3\text{--}0,4 \text{ мкс}$ , что несколько превышает приведенную выше оценку. Качественно распределение параметров по радиусу оказалось весьма близким к полученному выше, в частности, максимум температуры находится вблизи звуковой точки. Лишь вблизи мишени возникла сравнительно узкая холодная область (с температурой до  $3\text{--}5 \text{ эВ}$  и толщиной  $0,01 \text{ см}$ ) за счет дополнительного испарения и разогрева паров тепловым излучением. Наличие ее, однако, существенно не повлияло на характерные параметры плазмы. Так, температура оказалась лишь на 20% ниже, чем в стационарной модели с квазиобъемным вы светом ( $8,1 \text{ эВ}$  вместо  $10 \text{ эВ}$ ), а давление на 10% ниже ( $190 \text{ МПа}$  вместо  $215 \text{ МПа}$ ). Потери на излучение в вакуум составили 51% (вместо 40%). Все излучение, падающее на мишень, поглощалось ею, поскольку его спектр принадлежит далекому вакуумному ультрафиолету (в стационарной модели на мишень падало 20%).

Таким образом, использование описанной выше модели позволяет дать оценку роли радиационных эффектов (при не слишком сильном вы-

свечивании) и указать диапазон параметров лазерного импульса, где возможно их экспериментальное изучение и использование. Некоторое уточнение стационарной модели может быть произведено введением волны испарения и ионизации паров путем замены  $T_v$  на более высокую температуру  $T_i$ , при которой происходит просветление паров для теплового излучения горячей плазмы. Дальнейшее уточнение требует привлечения более трудоемких численных расчетов (типа описанных в [2—4, 14]).

#### ЛИТЕРАТУРА

1. Бергельсон В. И., Немчинов И. В. Плоские автомодельные движения газа, нагреваемого излучением, при наличии сильного переизлучения // ПМТФ.— 1973.— № 2.
2. Бергельсон В. И., Немчинов И. В. Параметры плазмы, образующейся под действием микросекундных импульсов излучения лазеров на алюминиевую преграду в вакууме // Кvantовая электрон.— 1978.— Т. 5, № 10.
3. Бергельсон В. И., Немчинов И. В. Численное исследование взаимодействия излучения лазера с преградой в вакууме с учетом спектрального состава излучения, испускаемого образующейся плазмой // Кvantовая электрон.— 1980.— Т. 7, № 11.
4. Добкин А. В., Немчинов И. В. Тепловое излучение плазмы, образующейся при взаимодействии излучения лазера с преградой из висмута // ЖПС.— 1983.— Т. 38, № 6.
5. Немчинов И. В. Стационарный режим движения нагреваемых излучением паров веществ при наличии бокового растекания // ПММ.— 1967.— Т. 31, № 2.
6. Малявина Т. Б., Немчинов И. В. Параметры стационарной радиально-симметричной струи паров, нагреваемой излучением ОКГ // ПМТФ.— 1972.— № 5.
7. Добкин А. В., Косарев И. Б., Немчинов И. В. Излучение плазмы, образовавшейся при ударе быстрых частиц о преграду // ЖТФ.— 1979.— Т. 49, № 7.
8. Буздин В. П., Добкин А. В., Косарев И. Б. и др. Термодинамические и оптические свойства высокотемпературной плазмы//ИФЗ АН СССР.— М., 1983.— Деп. в ВИНТИ 13.12.83, № 52-84.
9. Боровик Ф. И., Каелькова С. И. и др. Оптические свойства плазмы висмута // ЖПС.— 1983.— Т. 39, № 6.
10. Добкин А. В., Малявина Т. Б., Немчинов И. В. Стационарный режим разлета паров, нагреваемых мощными потоками излучения или быстрых частиц // ПМТФ.— 1982.— № 6.
11. Добкин А. В., Малявина Т. Б., Немчинов И. В. Квазистационарное испарение сферы интенсивным излучением сплошного спектра // ДАН СССР.— 1981.— Т. 257, № 6.
12. Голубь А. П., Немчинов И. В. и др. Испарение металлов импульсом лазерного излучения и образование экранирующего слоя // ЖТФ.— 1981.— Т. 51, № 2.
13. Петрухин А. И., Плещанов Ю. Е., Рыбаков В. А. Измерение давлений, возникающих под действием мощного ОКГ на поверхность алюминиевой мишени // Письма в ЖТФ.— 1977.— Т. 3, № 4.
14. Голубь А. П. Численный метод решения уравнений переноса излучения в одномерных задачах радиационной газовой динамики//ЖВММФ.— 1983.— Т. 23, № 1.

Поступила 17/X 1986 г.

УДК 533.9.537.525.5

#### О МЕХАНИЗМЕ КОЛЕБАТЕЛЬНОЙ РЕЛАКСАЦИИ В НЕРАВНОВЕСНОЙ ПЛАЗМЕ ВАКУУМНОЙ ДУГИ

C. B. Автаева, Д. К. Отторбаев, А. А. Сулайманов

(Фрунзе)

Известно, что возбуждение слабоопиcованного молекулярного газа при энергиях электронов, характерных для неравновесных разрядов  $\sim 1$  эВ, происходит в следующей последовательности. Сначала энергия электрического поля передается электронам, затем большая часть разрядного энерговклада тратится на возбуждение колебательных уровней молекул и, наконец, колебательное возбуждение может передаваться в поступательные степени свободы, т. е. в тепло. Помимо того, что баланс колебательной энергии принципиально важен для самоподдержания газового разряда, наличие в плазме колебательно-возбужденных частиц оказывает существенное влияние на скорости практически всех элементарных процессов с участием молекул. Поэтому актуален интерес и понятно внимание к изучению особенностей колебательной кинетики в неравновесных газах и плазме.